

Державний вищий навчальний заклад  
«Прикарпатський національний університет імені Василя Стефаника»  
Фізико-технічний факультет  
Кафедра комп'ютерної інженерії та електроніки

Луців Дмитро Михайлович  
Lutsiv Dmytro

УДК 004:42

Спеціальність 123 «Комп'ютерна інженерія»

Кваліфікаційна робота  
на здобуття освітнього ступеня магістр

Розробка апаратно-програмного комплексу моніторингу якості води

Development of hardware and software complex for water quality monitoring

Науковий керівник:  
к.т.н., доцент Грига В.М.  
Рецензент:  
к.ф.-м.н., проф. Никируй  
Л.І.

Івано-Франківськ  
2021



## АНОТАЦІЯ

В магістерській роботі спроектовано та розроблено пристрій для моніторингу стану водних ресурсів. Для достатньої автономності в його роботі використовується принцип “Інтернет речей” (IoT). Пристрій базується на основі мікроконтролера Arduino Mega 2560. Для аналізу параметрів води вибрано наступні датчики: рН, мутності, температурний та мінералізації.

Для пристрою було спроектовано і розроблено датчик мінералізації, що визначає рівень розчинених сольових та мінеральних домішок в рідинах. Цей показник також відповідає за смакові якості води, по ньому можна зрозуміти важка вона чи ні.

Результат таких вимірювань відправляється на сервер і відображається на веб-сайті. Для його розробки основними використовуються такі основні технології як Django REST Framework та React.js.

В роботі описано метод обробки даних для створення власного датчика. Проаналізовано аналоги існуючі на ринку. Підібрано необхідні комплектуючі для правильної роботи пристрою.

Результатом роботи є готовий пристрій, прошивка для нього, веб-сайт для відображення та редагування результатів вимірювання.

					123.УДК:004:42		
<i>Змн.</i>	<i>Арк.</i>	<i>№ док.ум.</i>	<i>Підпис</i>	<i>Дата</i>			
Розробив		ЛМЦВ Д. М.			Анотація		
Перевірив		Грига В.М.					
Н. Контр.		.			<i>Літ.</i>	<i>Арк.</i>	<i>Аркушів</i>
Затвердив						3	1

## ABSTRACT

In the master's thesis has designed and developed device for monitoring the state of water resources. For sufficient autonomy in its work has used the principle of the Internet of Things (IoT). The device is based on the Arduino Mega 2560 microcontroller. Sensors for analysis of water parameters are pH, turbidity, temperature and mineralization.

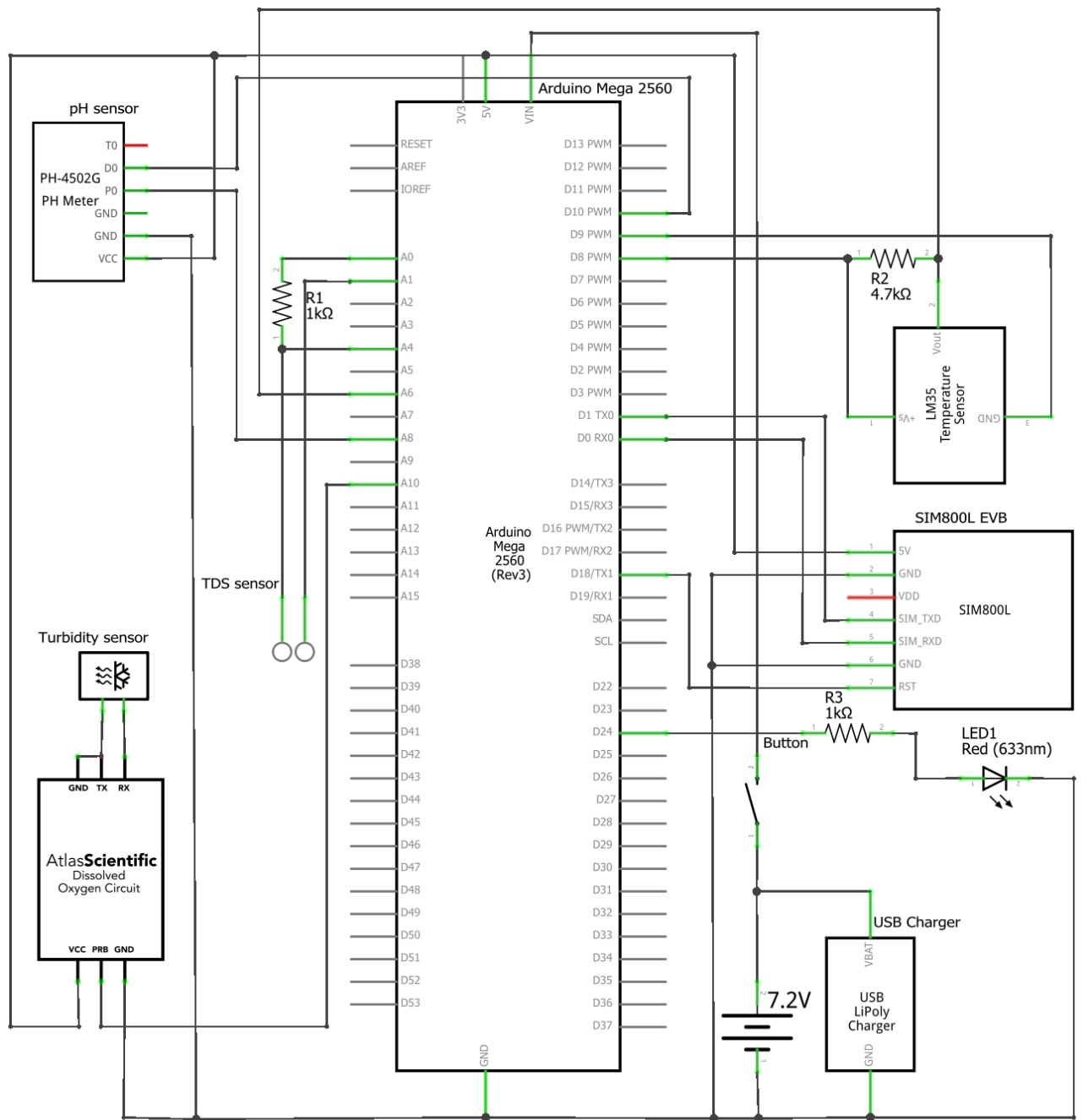
A mineralization sensor was designed and developed for the device, which determines the level of dissolved salt and mineral impurities in liquids. This indicator is also responsible for the taste of water, it can be understood whether it is heavy or not.

The result of measurements sends to the server and displays on the website. Basic technologies such as Django REST Framework and React.js are mainly used for its development.

The thesis describes method for data processing to create your own sensor. Analyzed similar devices available on the market. The necessary accessories for the correct operation of the device are selected.

The result is a ready-made device, firmware for it, a website for displaying and editing measurement results.

					123.УДК:004:42			
<i>Змн.</i>	<i>Арк.</i>	<i>№ докум.</i>	<i>Підпис</i>	<i>Дата</i>				
Розробив	Лґґґ Д. М.				Abstract	<i>Літ.</i>	<i>Арк.</i>	<i>Архивів</i>
Перевірів	Грига В.М.						4	1
Н. Контр.	.							
Затвердив								



fritzing

					123.УДК:004:42		
Змн.	Арк.	№ докум.	Підпис	Дата			
Розробив	Лущів Д.М.				Лім.	Арк.	Аркушів
Перевірів	Грига В.М.					5	1
Н. Контр.					Схема підключення пристрою		
Затвердив							

Пояснювальна записка  
до магістерської роботи  
на тему:

**«Розробка апаратно-програмного комплексу моніторингу якості води»**

					123.УДК:004:42			
<i>Змн.</i>	<i>Арк.</i>	<i>№ докум.</i>	<i>Підпис</i>	<i>Дата</i>				
Розробив		Луців Д.М.			Пояснювальна записка	<i>Літ.</i>	<i>Арк.</i>	<i>Аркушів</i>
Перевірів		Грига В.М.					6	88
Н. Контр.								
Затвердив								

## ЗМІСТ

ВСТУП.....	9
1. АНАЛІЗ ПРЕДМЕТНОЇ ОБЛАСТІ .....	11
1.1. Водні ресурси.....	11
1.1.1. Роль води в житті людей.....	13
1.1.2. Характеристика водних ресурсів планети.....	14
1.2. Фізичні та хімічні характеристики води.....	16
1.2.1. Структура молекули води.....	18
1.2.2. Термальні характеристики і фази.....	20
1.2.3. Щільність.....	21
1.2.4. Окислюваність.....	23
1.2.5. Жорсткість.....	23
1.2.6. Кислотність.....	24
1.2.7. Мінералізація.....	27
1.3. Системи контролю якості води.....	28
1.3.1. Аналіз існуючих систем.....	29
2. ОБГРУНТУВАННЯ ВИБОРУ АПАРАТНИХ ТА ПРОГРАМНИХ ЗАСОБІВ.....	32
2.1. Платформа Arduino.....	32
2.1.1. Середовище розробки.....	34
2.1.2. Вибір апаратного рішення та його переваги.....	36
2.1.3. Давачі для аналізу.....	40
2.1.4. Передача даних.....	48
2.2. Проектування веб-сайту.....	52
2.2.1. Технології для розробки бекенду сайту.....	53
2.2.2. Технології для розробки фронтенду сайту.....	55
2.3. Сфери застосування.....	57
3. РЕАЛІЗАЦІЯ СИСТЕМИ МОНІТОРИНГУ ЯКОСТІ ВОДИ.....	58

3.1. Алгоритм роботи пристрою.....	59
3.2. Реалізація апаратної частини пристрою.....	63
3.2.1. Проектування, розробка і прошивка сенсору мінералізації...63	
3.2.2. Складання схеми і з'єднання компонентів.....	68
3.2.3. Принципова електрична схема пристрою.....	70
3.2.4. Прошивка пристрою.....	71
3.2.5. Інсталяція схеми в корпус.....	72
3.3. Реалізація Веб-сайту.....	75
4. ЕКОНОМІЧНА ЧАСТИНА .....	78
4.1. Оцінювання комерційного потенціалу розробки.....	78
4.2. Розрахунок витрат на комплектуючі пристрою.....	79
ВИСНОВКИ.....	82
СПИСКИ ВИКОРИСТАНОЇ ЛІТЕРАТУРИ.....	83
ДОДАТКИ.....	85







# 1. АНАЛІЗ ПРЕДМЕТНОЇ ОБЛАСТІ

## 1.1. Водні ресурси

Вода - це другий на рівні з повітрям найбільш важливий ресурс для існування всього живого. Її потребує кожна органічна істота як на поверхні планети, так і під землею. Наявність прісної води критично важлива для підтримки людської діяльності та збереження природних екосистем.

Водні ресурси – це усі придатні для використання води на планеті Земля. До них відносяться: морські, озерні, річкові, водосховища, підземні та ґрунтові води, полярні та гірські льодовики, тобто вся вода гідросфери. Гідросфера складається з газоподібної, рідкої та твердої води Землі та складається з кількох відділень, які включають океан, прісноводні озера та ставки, струмки, водно -болотні угіддя, вологість ґрунту, водяну пару тощо (табл. 1.1). Океан має об'єм близько 1,3 млрд км<sup>3</sup> і складає 97,4% води Землі.

Залишок води [1] - 2,6% - близько 36 млн км<sup>3</sup> - міститься в кількох прісноводних частинах гідросфери. Найбільша частина прісної води Землі зв'язана льодом, зустрічається у вигляді глибоких ґрунтових вод, жодна з яких часто не може бути використана з користю. Кількість прісної води, доступної для використання людиною в будь-який конкретний час - це неглибокі ґрунтові води, вода в озерах, потічки, річки і невеликі струмки, а також створені людиною водойми, які захоплюють і зберігають річковий стік. Значна частина наявної прісної води або недоступна, або не є стійкою для використання людиною.

Таблиця 1.1

Розмір океанів та різних джерел прісної води

Порівняння	Об'єм (км <sup>3</sup> )	Пропорція (%)	Час відновлення
Океани	1348000000	97,40	37000 р
Прісна вода			
Полярний лід та айсберги	27818000	2,01	16000 р
Підземні води (800-	4447000	0,32	-





естетичну привабливість для людей, які розмірковують про природу. Водні об'єкти стали важливим аспектом ландшафтної архітектури.

### 1.1.2. Характеристика водних ресурсів планети

Одна з найбільш часто цитованих статистичних даних по наявності води [3] показує, що лише близько 2,5% води на Землі є прісною. В свою чергу вода яка доступна для підтримки людського життя, сільського господарства та більшості не океанічних форм життя складає тільки 30,1% і являє собою підземні води, які зберігаються глибоко під землею і не відновлюються.

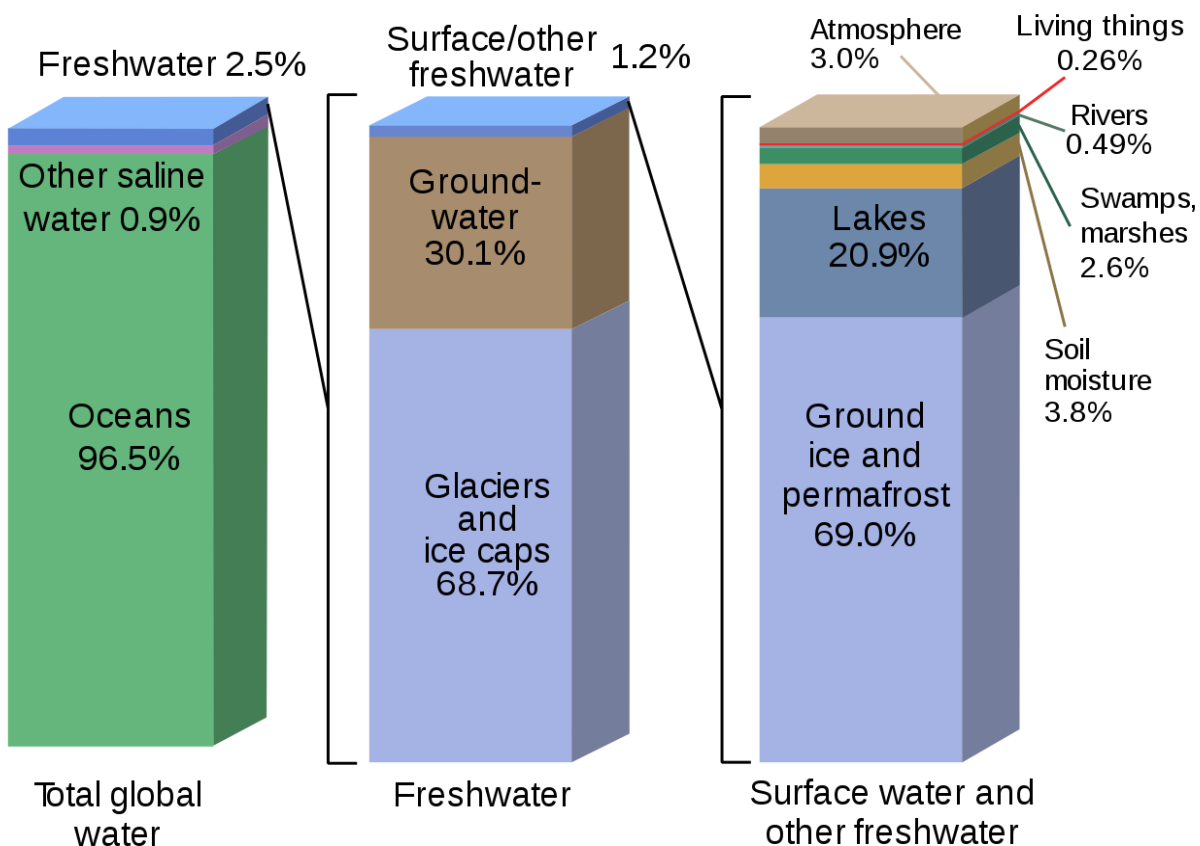


Рис. 1.1. Розподілення води на планеті.

Занепокоєння з боку попиту виникає через наступні фактори:

- Зростаюча кількість людей на планеті географічно зосереджена в регіонах, які не можуть підтримувати достатній рівень попиту.









позитивно заряджена з іншого. Поділ зарядів призводить до того, що молекули води мають властивості, що відрізняються від властивостей інших сполук з подібною молекулярною масою.

Ці відмінності включають підвищену температуру замерзання та кипіння, великі вимоги до зовнішнього середовища для зміни між твердою і рідкою та між рідкою і паровою фазами, щільність, що залежить від температури, велика здатність утримувати тепло та відмінна дія у якості розчинника. Ці унікальні фізичні властивості води дозволяють їй існувати на поверхні землі та бути максимально використовуваною.

Вода - чудова речовина, яка багато в чому залежить від унікальності Землі. Без неї не було б життя на цій планеті. Як сказала американський філософ ХХ століття Лорен Ейзлі, "на цій планеті є магія, вона міститься у воді".

### 1.2.1. Структура молекули води

Вода утворена об'єднанням двох атомів водню і з одним атомом кисню [5]. Закони термодинаміки говорять, що речовини спонтанно змінюються до свого найбільш стабільного стану, можливого за існуючих умов. Стабільний атом має два електрони в своїй внутрішній електронній оболонці і щонайменше вісім електронів у зовнішній. Атоми неметалів, такі як кисень та водень, можуть об'єднуватись, щоб поділити електрони з іншими атомами, щоб заповнити свою зовнішню електронну оболонку в процесі, званому ковалентним зв'язком. Молекула води є результатом двох атомів водню, кожен з яких поділяє один електрон з киснем і утворює два ковалентних зв'язки (рис. 1.2). Таке розташування дозволяє атому кисню отримати два електрони, щоб заповнити свою зовнішню електронну оболонку, тоді як кожен атом водню отримує один електрон, щоб заповнити свою зовнішню і єдину електронну оболонку.

										Арк.
	18								123.УДК:004:42	
Зм.	Арк.	№ докум.	Підпис	Дата						



Такий поділ заряду викликає постійний дипольний момент, в якому атом з одного боку зв'язку має позитивний заряд і навпаки. Заряди на молекулах є електростатичними зарядами, тобто вони перебувають у стані спокою, створюючи електричне поле, а не струм.

### 1.2.2. Термальні характеристики і фази

У Міжнародній системі одиниць (система СІ) Джоуль (Дж) є базовою одиницею енергії [6]; один джоуль - це кількість енергії, переданої, коли 1 Ньютон (N) діє на об'єкт понад 1м. Питома теплоємність - це кількість енергії, яку необхідно прикласти або забрати, щоб змінити температуру 1г речовини на 1°C. Визначення калорій ґрунтується на питомій теплоті рідкої води (1кал підвищить температуру 1г рідкої води на 1°C), а рідка вода є стандартом для порівняння питомих нагрівань речовин. Питомі нагрівання трьох фаз води:

- лід при 0°C, 2,03 Дж/г/°C (0,485 кал/г/°C);
- вода при 25°C, 4,184 Дж/г/°C (1 кал/г/°C);
- пара при 100°C, 2,01 Дж/г/°C (0,48 кал/г/°C).

Також лід може переходити з твердого стану в пару, не проходячи через рідку фазу. Це причина того, що мокрий одяг, підвішений на відкритому повітрі в морозну погоду, може стати сухим. Процес називається сублімацією, а внутрішня теплота сублімації становить 3012 Дж/г (720 кал/г). Водяна пара також може перетворюватися з пари в лід, не проходячи через рідку фазу. Цей процес відомий як осадження, для якого внутрішня теплота також становить 3012 Дж/г.

Чиста вода-це рідина при температурі від 0 до 100 °C при стандартному (на рівні моря) атмосферному тиску. Інші поширені сполуки водню, такі як метан, аміак та сірководень, є газами при звичайних температурах на поверхні землі (табл. 1.2). Питоме нагрівання, внутрішня теплота плавлення

									Арк.
	20							123.УДК:004:42	
Зм.	Арк.	№ докум.	Підпис	Дата					

та випаровування також більші для води, ніж для інших трьох поширених сполук водню (табл. 1.2). Причина, чому вода відрізняється за своїми тепловими властивостями від інших речовин з подібною молекулярною масою, пояснюється її здатністю утворювати водневі зв'язки між своїми молекулами. Високі значення внутрішньої теплоти для води відображають стійкість до утворення та розриву водневих зв'язків. У разі замерзання молекулярний рух повинен зменшитися до такої міри, що може утворитися кристалічна решітка льоду, але коли лід тоне, потрібно прикласти достатньо енергії, щоб розірвати достатню кількість водневих зв'язків. Така ж логіка застосовується і до випаровування. Енергія необхідна для звільнення молекул пари від водневого зв'язку.

Таблиця 1.2

Термальні властивості води у порівнянні з іншими сполуками гідрогену з схожою молекулярною масою

Властивість	Вода (H <sub>2</sub> O)	Метан (CH <sub>4</sub> )	Аміак (NH <sub>3</sub> )	Сульфат оксигену(H <sub>2</sub> S)
Молекулярна маса	18.02	16.04	17.03	34.08
Питома теплоємність	4.184	2.23	2.20	0.24
Точка замерзання	0	-182.5	-77.7	-85.5
Точка кипіння	100	-162	-33.3	-60.7
Внутрішня теплота випаровування	2260	481	1371	548

### 1.2.3. Щільність

Молекули льоду розташовані в правильній решітці за допомогою водневого зв'язку [7]. Регулярне розташування молекул у льоду створює порожнечі, відсутні у рідкій воді, де молекули розташовані ближче один до

одного. Лід менш щільний, ніж рідка вода (0,917 г/см<sup>3</sup> проти 1 г/см<sup>3</sup>), що дозволяє йому плавати.

Щільність рідкої води збільшується при підвищенні температури, досягаючи максимальної щільності 1000 г/см<sup>3</sup> при 3,98°C. Подальше потепління призводить до зменшення густини води (табл. 1.3). Два процеси впливають на щільність, коли вода нагрівається вище 0 С. Залишки кристалічної решітки льоду розпадаються, щоб збільшити щільність, тоді як зв'язки розтягуються, щоб зменшити щільність. Від 0 до 3,98°C руйнування залишків решітки має найбільший вплив на щільність, але подальше потепління призводить до зменшення щільності через розтягнення зв'язків, викликане більшою внутрішньою енергією в молекулах теплішої води. Зміна щільності внаслідок температури впливає на масу одиниці об'єму води. Один кубічний метр чистої води при 10°C важить 999,70 кг; той же об'єм важить 995,65 кг при 30°C.

Таблиця 1.3

Щільність чистої води при різних температурах

°C	г/см <sup>3</sup>	°C	г/см <sup>3</sup>	°C	г/см <sup>3</sup>
0	0.99984	10	0.99970	20	0.99821
1	0.99990	11	0.99961	21	0.99800
2	0.99994	12	0.99950	22	0.99777
3	0.99997	13	0.99938	23	0.99754
4	0.99998	14	0.99925	24	0.99730
5	0.99997	15	0.99910	25	0.99705
6	0.99994	16	0.99895	26	0.99678
7	0.99990	17	0.99878	27	0.99652
8	0.99985	18	0.99860	28	0.99624
9	0.99978	19	0.99841	29	0.99595

#### 1.2.4. Окислюваність

Окислюваність показує кількість кисню в міліграмах, необхідного для окислення органічних речовин, що містяться в 1 дм води [6].

Води поверхневих та підземних джерел мають різну окислюваність - у підземних вод величина окислюваності незначна, за винятком болотяних вод та вод нафтових родовищ. Окислюваність гірських рік нижче, ніж рівнинних. Найбільша величина окислюваності (до десятків мг/дм<sup>3</sup>) — біля річок із живленням болотяними водами.

Величина окислюваності закономірно змінюється протягом року. Окислюваність характеризується декількома величинами - перманганатною, біхроматною, йодатною окислюваністю (залежно від того, який окислювач використовується).

#### 1.2.5. Жорсткість

Це багатозначний показник, що залежить від концентрації іонів кальцію і магнію у воді. Кількісно вимірюється в значенні мг-екв/л (міліграм-еквівалент на літр). Вода з достатньо глибоких джерел має значно більшу жорсткість (8-10 мг-екв/л) ніж з поверхневих - відносно невелика (3-6 мг-екв/л). Таблицю жорсткості можна побачити під номером 1.4.

Таблиця 1.4

Розподілення жорсткості води.

Класифікація води	Концентрація Ca <sup>2+</sup> і Mg <sup>2+</sup> , екв/л
Дуже м'яка	< 1.5
М'яка	1.5 – 4.0
Середньої жорсткості	4.0 – 8.0
Жорстка	8.0 – 12.0
Дуже жорстка	12.0 <













доступному сайті. На сьогоднішній день існують багато пристроїв для хімічного аналізу водних ресурсів.

Одні з найпростіших і дешевих є портативними, здебільшого вони призначені для особистого побутового використання. З їх допомогою можна виміряти температуру і рівень мінералів у воді з-під крану, криниці, джерелі чи в акваріумі. Вони не дуже точні, але є не дорогими і доступними для таких сценаріїв вимірювання.

Інша група стаціонарних приладів призначена для точних аналізів зразків води в лабораторіях. Спектр хімічного вимірювання в них набагато більший і сенсори набагато точніші. Сенсори використовуються значно кращої якості вимірювання ніж в портативних, але і ціна, відповідно, теж в рази більша. Також вони можуть вимірювати значно більше характеристик рідин.

### 1.3.1. Аналіз існуючих систем

pH-метр стаціонарний MP 511 [8] – це прилад, що дозволяє виконувати вимірювання лабораторних зразків водних розчинів (рис.1.5). Ціна такого пристрою 15 105грн.



Рис.1.5. pH-метр MP511.

									123.УДК:004:42	Арк.
Зм.	Арк.	№ докум.	Підпис	Дата						











Shield), для отримання координат і часу з супутників GPS (приймач GPS/GLONASS) та багато інших.

### 2.1.1. Середовище розробки

Файли прошивки для мікроконтролерів розробляються в програмному середовищі Arduino IDE [12]. Воно містить в собі редактор коду, препроцесор, компілятор, допоміжні інструменти які допомагають працювати з мікроконтролером. IDE працює на багатьох актуальних операційних системах.

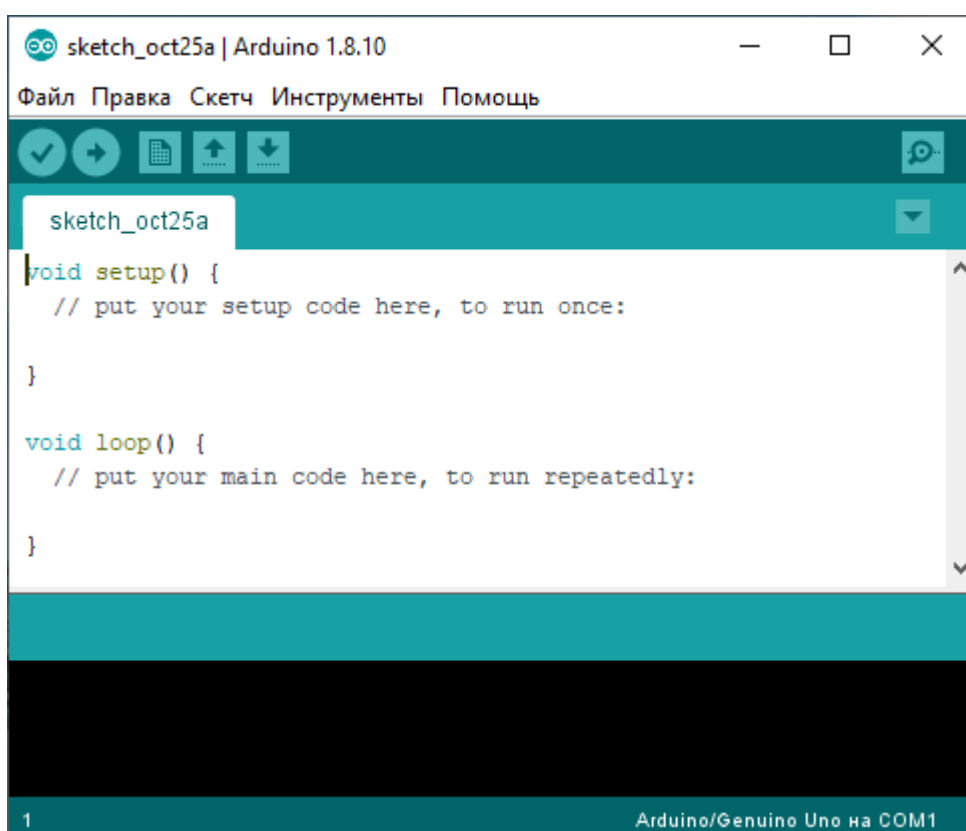


Рис. 2.3. Інтерфейс Arduino IDE

Програмний код розробляється мовою C++ з використанням певного компілятора для полегшення роботи. Прошивка називається скетчем (Sketch) і зберігається у файлі з розширенням .ino.

Функція setup() є обов'язковою і використовується мікроконтролером тільки один раз після ввімкнення. У ній вказуються параметри для







А на таблиці 2.1. перелічено основні технічні характеристики плати.

## ARDUINO MEGA 2560 PINOUT

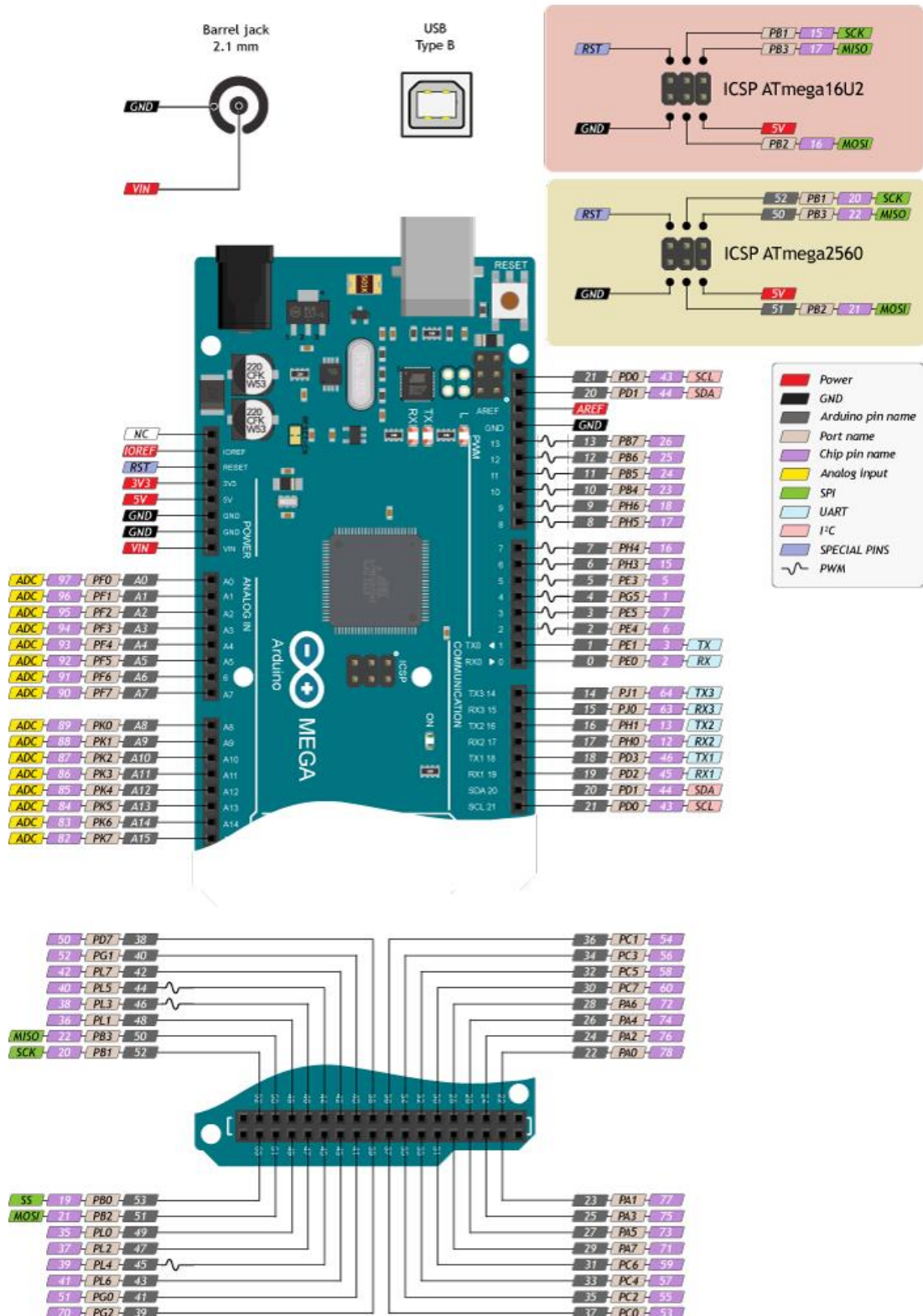


Рис. 2.6. Схема виводів плати Arduino Mega













## Характеристики сенсору мутності

Напруга живлення	5 В
Струм живлення	40 мА
Робоча температура	5-90 °С
Розмір модуля	38мм × 28мм × 10мм
Час відгуку	≤500 мс
Напруга аналогового виходу	0-5 В
Напруга цифрового виходу	Сигнал низького/високого рівня

Завдяки контролеру сенсору при підключенні немає потреби в допоміжних резисторах чи інших деталях (рис.2.9 та рис.2.10). Задіяно тільки 3 виводи: живлення - 5В, земля – GND та аналоговий вхід – А0.

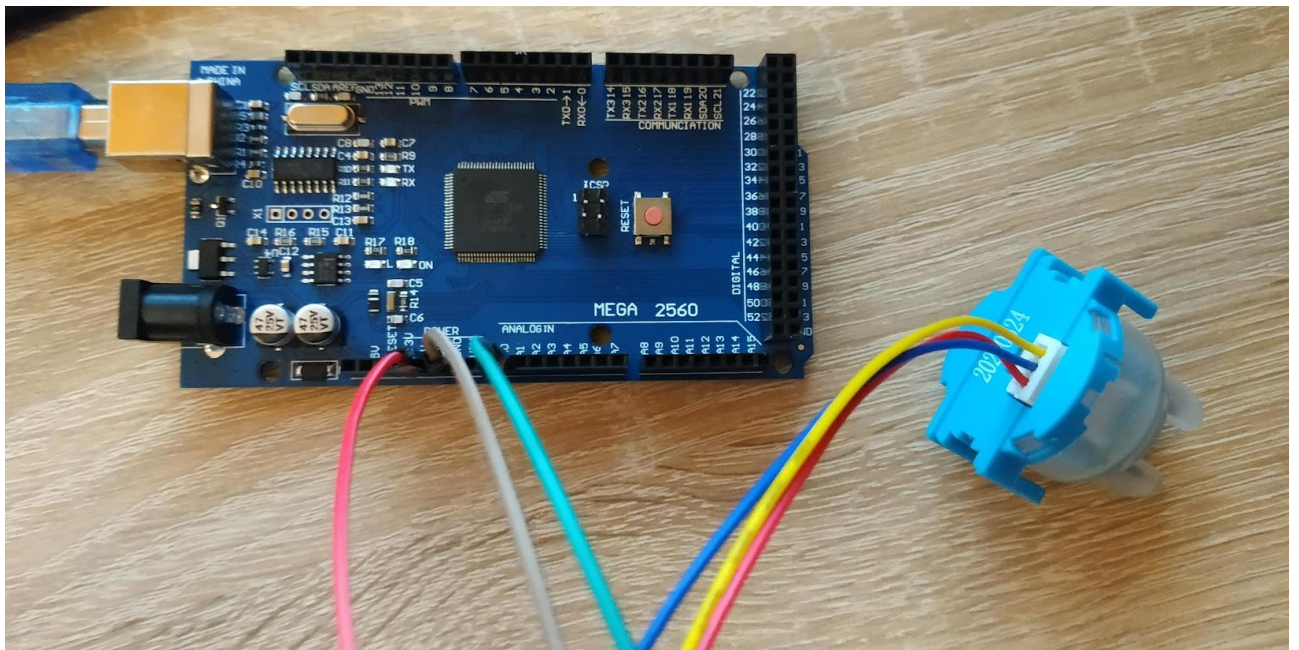


Рис.2.9. Підключення контролера до плати Arduino.





Рис. 2.11. Температурний сенсор-зонд DS18B20

Таблиця 2.4

Характеристики температурного сенсору DS18B20

Тип сенсору	Зонд
Напруга живлення	3-5,5 В
Точність вимірювання	$\pm 0.5^{\circ}\text{C}$ в діапазоні -10 до + 85 $^{\circ}\text{C}$
Діапазон вимірюваних температур	-55 - +125 $^{\circ}\text{C}$
Інтерфейс	1-Wire
Довжина кабелю	90 см
Час відгуку	$\leq 750$ мс
Напруга аналогового виходу	0-4,5 В
Напруга цифрового виходу	Сигнал низького/високого рівня

Сигнал на виході сенсору може бути вибраний 9 або 12 бітної розрядності завдяки вбудованому цифро-аналоговому перетворювачу. Також на великих відстанях не буде спостерігатись затухання сигналу, оскільки на виході іде цифровий сигнал.

Недоліком цього сенсору є необхідність використання підтягуючого резистора на 4,7 кОм між проводами DATA та VCC, що показано на рисунку



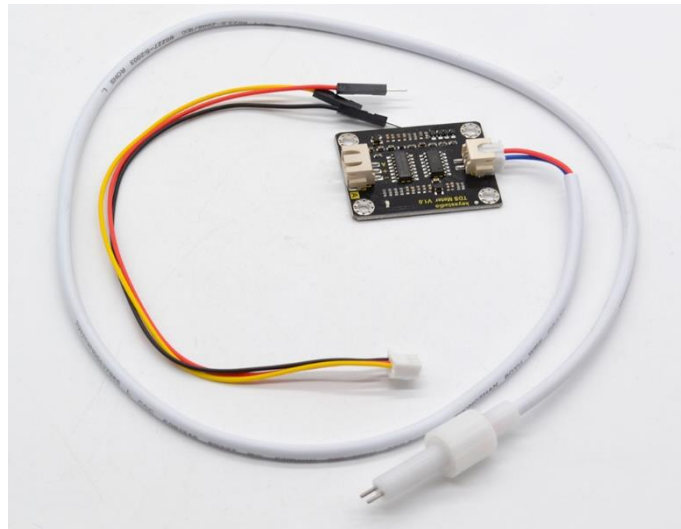


Рис.2.11. Сенсор мінералізації

Для прикладу декілька значень PPM для різних типів води:

- Чиста вода: 80-150;
- Водопровідна вода: 250-350;
- Підземні води: 500-1000;
- Морська вода: приблизно 30000.

Допустимий рівень PPM для питної води, рекомендований всесвітньою організацією охорони здоров'я - це рівень нижче 300. Вода з показником вище 300 вважається дуже «жорсткою». Також коли рівень менше 100 у воді занадто мало основних мінералів.

#### 2.1.4. Передача даних

Оскільки дані з пристрою повинні передаватись на віддалений сервер, то ні Bluetooth, ні Wi-Fi технології не підійдуть. Вони обмежені радіусом роботи і будуть не зручні при роботі пристрою. У зв'язку з цим в ньому буде використовуватись GSM модуль.

GSM – це глобальний стандарт цифрового зв'язку який працює на основі розділення каналів по частотах і часу. Цей стандарт найпоширеніший у сфері передачі інформації і використовується найчастіше в мобільних телефонах.

										Арк.
Зм.	Арк.	№ докум.	Підпис	Дата						





За свою низьку ціну в 4 долари він може робити дзвінки, приймати і відправляти повідомлення, обмінюватись цифровими даними через Інтернет за допомогою GPRS-мережі. В модулі є зовнішня антена, що забезпечує кращий зв'язок і передачу даних. Основні технічні характеристики модуля наведено в таблиці 2.5.

Таблиця 2.5

Характеристики GSM модулю GSM800L

Тип SIM-карти	MicroSIM
Мікросхема	MT6260SA
Потужність передачі	Підтримка 4х діапазонної мережі 900/1800/1900 МГц
Підтримка мереж	2G, GPRS
Напруга живлення	2,8-3,3 В
Живлення сімкарт	1,8 В, 3В
Діапазон робочої температури	-30 до +75 °С
Інтерфейс	UART
Розміри	25 x 25 см

Детальніше про підключення. Для роботи модулю потрібне живлення 2,8В, але так як на платі є вивід 3.3В можна використати його. Більше недоліків з підключенням немає. Потрібні також контакти RXD і TXD – піни на платі Ардуіно для передачі даних, також ще потрібно підключити третій контакт до заземлення плати - GND. В залежності від модифікації модулю для коректної роботи треба підключити ці два піни навпаки. RXD до входу TX, а TXD до цифрового входу RX плати Arduino.

При першому запуску індикатор на модулі починає часто блимати, що говорить про пошук мережі. Коли мигання відбувається з більшим



























### 3.2. Реалізація апаратної частини пристрою

Важливою частиною цієї науково-дослідної роботи є розробка власного компоненту пристрою. Таким компонентом є сенсор мінералізації. Він дозволяє визначити рівень вмісту розчинених солей і тип жорсткості води.

#### 3.2.1. Проектування, розробка і прошивка сенсору мінералізації

Для цього сенсору не потрібна велика кількість радіо деталей, що робить його конструювання економічно ефективним кроком.

Для сенсору потрібно такі компоненти:

- Мікроконтролер з наявністю аналого-цифрового перетворювача
- Температурний сенсор
- Два провідники
- Резистор на 500 або 1000 Ом (не менше ніж 300 Ом)

Мікроконтролером виступає плата Arduino Mega. АЦП звісно в ній присутній. Температурний сенсор DS18B20 вже використовується. Він необхідний для термокомпенсації під час вимірювання. При розрахуванні коефіцієнту електропровідності потрібно обов'язково використовувати актуальну інформацію про температуру рідини, щоб показання були максимально точними.

Для вимірювання електропровідності розчину необхідно забезпечити високу частоту змінного струму не менше 1кГц. Це потрібно для усунення ефекту поляризації електроліту і для запобігання руйнування електродів при довгому вимірюванні.

Технічні характеристики:

- Вхідний постійний струм: 3,3 – 5В
- Вихідний змінний струм: 0 – 2,91В
- Діапазон вимірювання TDS: 0 – 1000 ppm
- Діапазон температури вимірювання: 1 – 60°C

										Арк.
	63								123.УДК:004:42	
Зм.	Арк.	№ докум.	Підпис	Дата						





зробити дешевий сенсор, який буде видавати той самий результат, що і при використанні змінного струму.

**Температурна компенсація.** Температура має великий вплив на провідність рідин, тому критично важливо компенсувати цей вплив. Зазвичай для невеликих температурних змін використовують лінійне наближення значення ЕС, щоб перетворити це значення на еквівалентне при температурі 25°C (формула 3.1):

$$EC_{25} = \frac{EC}{1+a(T-25)} \quad (3.1)$$

,де  $EC_{25}$  – це еквівалент електропровідності при 25°C;

ЕС – виміряна електропровідність;

T – температура рідини;

$a = 0,019^{\circ}C$  - коефіцієнт, що використовується для поживних розчинів.

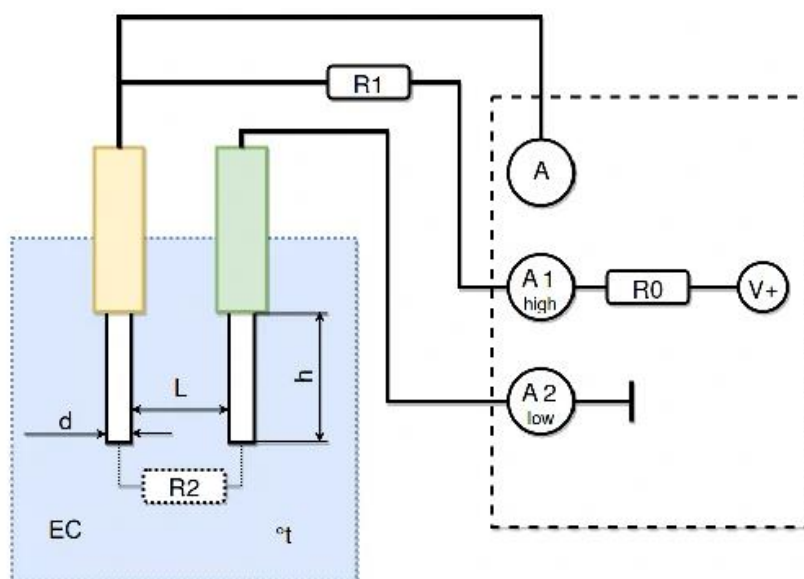


Рис. 3.4. Схематичне зображення точок опору сенсору

Ключові точки опору сенсору можна побачити на рисунку 3.4:

$R_0$  – це опір цифрових контактів на платі Arduino. Їх опір приблизно 25 Ом.



та константу К(для європейських вилок електроприладів вона становить 1,76).

$$EC = EC_{25} * (1 + a(T - 25)), \quad (3.2)$$

де  $EC_{25}$  – константа електропровідності води [25],  $T$  – температура.

$$R = (1000 / (EC * K)) + 25, \quad (3.3)$$

де  $EC$  – мінімальна і максимальна розрахована електропровідність,  $K$  – коефіцієнт із значенням 1,76.

$$T_{\min} = 0 \text{ } ^\circ\text{C}, T_{\max} = 60 \text{ } ^\circ\text{C}$$

$$EC_{\min} = 0.5 * (1 + 0.019(0 - 25)) = 0.26 \text{ СМ/СМ}$$

$$EC_{\max} = 5 * (1 + 0.019(60 - 25)) = 8.32 \text{ СМ/СМ}$$

$$R_{\min} = (1000 / EC_{\max} * K) + 25 = (1000 / (8.32 * 1.76)) + 25 = 93 \text{ Ом}$$

$$R_{\max} = (1000 / EC_{\min} * K) + 25 = (1000 / (0.26 * 1.76)) + 25 = 2210 \text{ Ом}$$

З цих значень можна вирахувати значення для потенційних опорів, що показано на таблиці 3.1.

Таблиця 3.1

Розрахунок

R1, Ом	R <sub>min</sub> при 93 Ом	R <sub>min</sub> при 2210 Ом	V <sub>out</sub> , спад напруги
300	1,18	4,40	3,22
400	0,94	4,23	3,29
500	0,78	4,08	3,29
600	0,67	3,93	3,26
700	0,59	3,80	3,21
800	0,52	3,67	3,15
900	0,47	3,55	3,08
1000	0,43	3,44	3,02

З показників цієї таблиці можна зробити висновок, що найбільша різниця спостерігається при опорі  $R_1 = 500$  Ом. А це означає, що роздільна



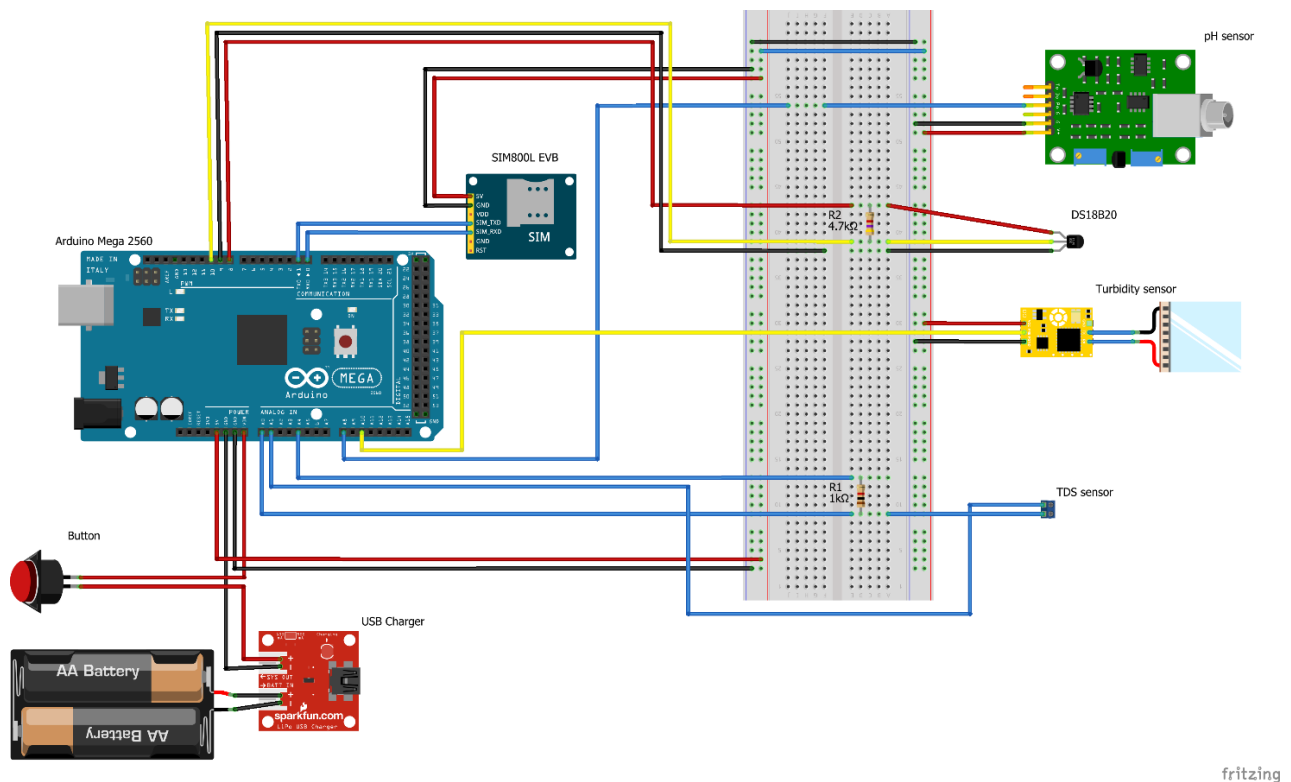


Рис.3.5. Структурна схема системи моніторингу якості води.

Як видно на схемі, що на рисунку 3.5 пристрій працює автономно завдяки двом акумуляторним батареям. Вони забезпечують живлення для усіх елементів за потреби. Їх в свою чергу потрібно заряджати по мірі використання пристрою. За це відповідає контролер заряду/розряду для Li-ion акумуляторів TP4056. Він захищає і обмежує струм поданий на заряд, максимальна сила струму може складати 2А яку видає звичайний блок живлення від смартфона. Для Li-ion акумуляторів потрібний спеціальний спосіб заряду. Спочатку напруга повільно зростає до пікових 4.2В і близько до повного заряду починає спадати, доходячи до нуля. У зв'язку з цим процес повного заряджання відбувається приблизно 1,5-2 години.

Вже з акумуляторів струм іде напряму до Arduino і живить його через вхід VIn. Важливо уточнити, що у такому способі живлення земля повинна бути у всіх підключених датчиків одна. Поступає на вхід 7.4В, тому, що акумуляторів 2 по 3.7В, він в свою чергу з'єднаний із стабілізатором напруги



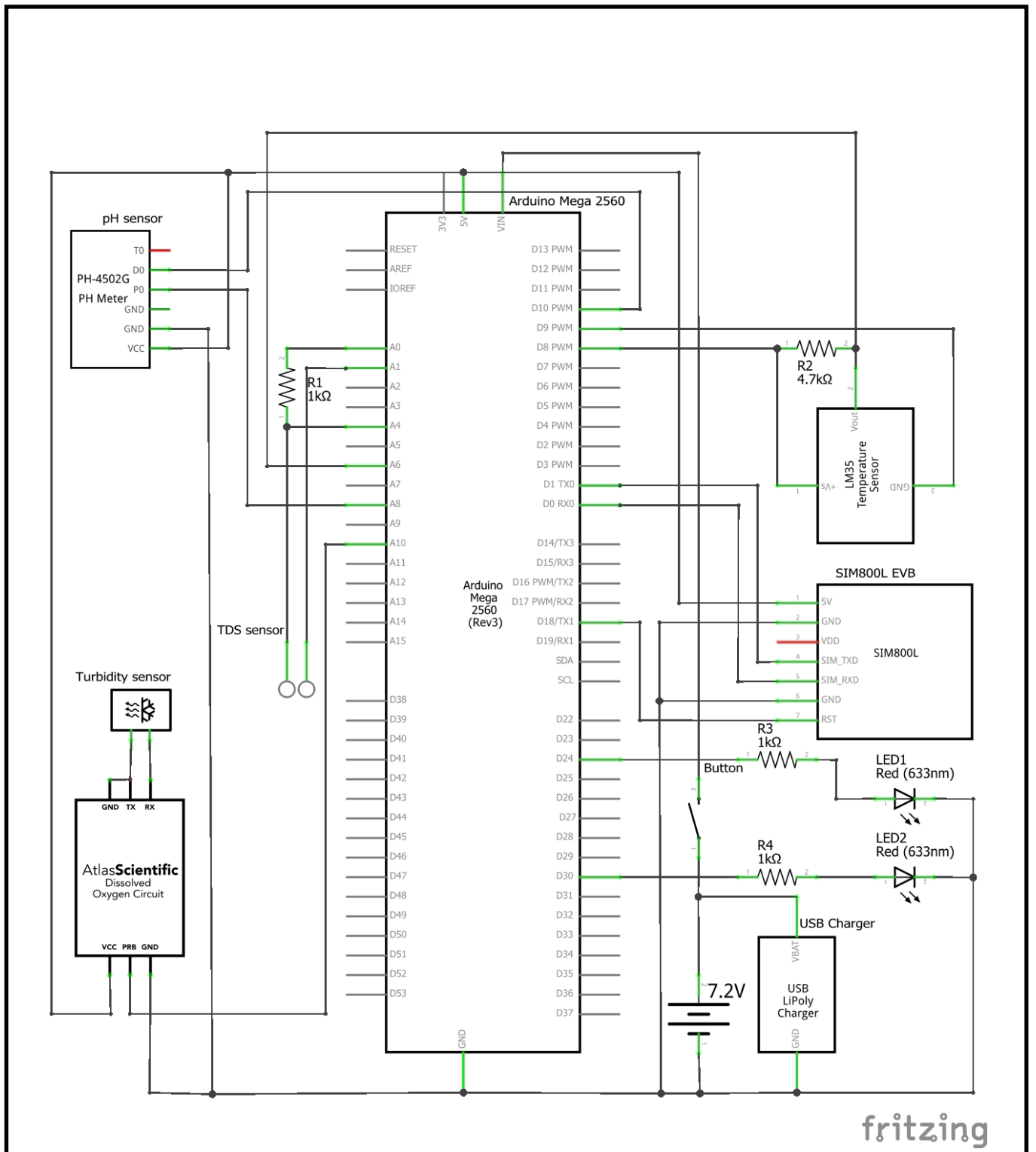


Рис.3.6. Принципова електрична схема

### 3.2.4. Прошивка пристрою

Після подачі живлення на плату Arduino Mega починає свою роботу завантажувач (Bootloader), який за перші кілька мілісекунд перевіряє наявність підключення до ПК і чи не потрібно записувати нову прошивку.









Рис. 3.9. Макет готового пристрою

71						
Зм.	Арк.	№ докум.	Підпис	Дата	123.УДК:004:42	Арк.



Django administration WELCOME, ADMIN. [VIEW SITE](#) / [CHANGE PASSWORD](#) / [LOG OUT](#)

Home > Backend > Data > 00003

**AUTHENTICATION AND AUTHORIZATION**

Groups + Add

Users + Add

---

**BACKEND**

Data + Add

Devices + Add

### Change Data

HISTORY

**6fa459ea-ee8a-3ca4-894e-db77e160355e**

Device:  ✎ +

Common status:

Temperature:

Ph:

Turbidity:

Tds:

Latitude:

Longitude:

ID: 5

Updated: Oct. 27, 2021, 9:28 a.m.

Delete
Save and add another
Save and continue editing
SAVE

Рис. 3.11. Інформація отримана від пристрою

Після отримання інформація обробляється валідаторами, щоб уникнути помилок чи випадкових результатів. Відбувається перевірка чи не було отримано якихось аномальних результатів, якщо ж, наприклад, температура визначена в «-179 °C», або рівень мінералізації переходить межу 10 000 одиниць, то користувачу відобразиться, що з пристроєм щось не так. Отримана широта і довгота також звіряється з попередніми показниками через можливі неполадки з GPRS сигналом. Додатково зберігається дата і час отримання. Це все прикріплюється до унікального ідентифікатору пристрою.

Після такої обробки дані зберігаються в базу даних, звідки її може використати і відобразити фронтенд частина.



Рис.3.12. Показники пристрою на веб-сайті

Для прикладу на рисунку 3.12 зображено основну сторінку веб-сайту де показано вибраний пристрій і його показники. Вибравши пристрій, можна переглянути статистику вимірювання представлену в графіках і діаграмах.



чи максимально схожі продукти. Для запобігання такої ймовірності подій потрібно надійно захистити інтелектуальну власність, що лежить в основі проектування і розробки. Це є важливим фактором для успішного розвитку продукту на ринку.

#### 4.2 Розрахунок витрат на комплектуючі пристрою

Фінансові витрати на комплектуючі  $K$ , які були використані при розробці і конструюванні пристрою, вираховуються за такою формулою:

$$K = \sum_i^n H_i * C_i * K_i \text{ (грн)} \quad (4.1)$$

, де  $H_i$  – кількість комплектуючих виду  $i$ , шт.;

$C_i$  – вартість комплектуючих виду  $i$ , грн;

$K_i$  – коефіцієнт витрат на доставку,  $K_i = (1,1 - 1,15)$ ;

$n$  – загальна кількість видів використаних комплектуючих виду  $i$ .

Розрахунок витрачених коштів знаходиться в таблиці 4.1:

Таблиця 4.1 – Види та ціна комплектуючих, використаних в проекті.

№	Найменування комплектуючих	Використано, шт	Ціна за одиницю, грн	Сума, грн
1	Мікросхема Arduino Mega 2560 ATmega2560, R3	1	422	422
2	Модуль рН + сенсор	1	550	550
3	Сенсор мутності KIE ts-300b	1	330	330
4	Макетна плата 400 контактів Arduino	1	48	48
5	Зонд температурний термометр- щуп сенсор DS18B20	1	54	54
6	Модуль SIM800L EVB, 5V	1	162.5	162.5

										123.УДК:004:42	Арк.
79											
Зм.	Арк.	№ докум.	Підпис	Дата							































